

النحوه‌ی علمی مقاله‌های تئوری شهرسازی

شماره شاپا: ۲۲۲۸-۵۸۹X

شناسایی عوامل موثر بر اجتماع‌بزیری در محیط آموزش معماری و تحلیل تعامل بین آن‌ها (با رویکرد تصمیم‌گیری چندمعیاره فازی)
الهام جعفری، حمزه غلامعلیزاده، محمود مدیری

پایبندی به تاریخ در مداخلات معاصر؛ (قیاس در طراحی زمینه‌ای بناها و مجموعه‌ها بین چند کشور اروپایی و ایران)
غلامرضا جاپلچی، اصغر محمدمرادی، آرش محمدمرادی، طاهره جامکلو

بررسی اهمیت و حوزه‌های کاربرد لایه «احساسات شهری» در طراحی و برنامه‌ریزی شهری
عصمت پای‌کن، محمدرضا پورجعفر

تحقيق درباره مبادی فضاهای شهری رفتارگرا و دموکراتیک؛ یکپارچه‌سازی نظریات
مانی ستارزاد فتحی، مجید زارعی، رحیم هاشمی‌پور

کاربرد روش تحلیل تماتیک در شناسایی قابلیت‌های معنایی تجربه شده حین حرکت روزمره در محیط انسان ساخته
سمیه رفیعی، مجید صالحی‌نیا، قاسم مظلومی

تعیین زاویه بهینه استقرار سطوح قائم ساختمان بر اساس دریافت انرژی خورشیدی در اقلیم گرم و مرطوب
(مطالعه موردی: شهرهای بندرعباس، بوشهر و اهواز)
حسن اکبری، فاطمه سادات حسینی‌نژاد

ارزیابی و تحلیل وضعیت آسایش حرارتی فضای باز محلات مسکونی با استفاده از شاخصه‌های حرارتی
(نمونه موردی: محلات منتخب شهر اصفهان)
فاطمه السادات مجیدی، شاهین حیدری، محمود قلعه‌نویی، مریم قاسمی سیچانی

تأثیر وجود و گسترش آرامستان بر محله‌های همچوار آن؛
(مورد پژوهی: آرامستان امامزاده سلطان ابراهیم، شهر قوچان)
سمانه جلیلی صدر آباد، شادی شکری یزدان آباد

باز زنده‌سازی منظر رودهای شهری با رویکرد تعامل سازنده بین انسان و محیط طبیعی؛ (مورد واکاوی نهر "شهررود" آمل)
نرگس حمزه، حامد مظاہریان، محمدسعید ایزدی، مرتضی لطفی‌پور سیاهکلرودی

بازخوانی مؤلفه‌های مؤثر بر ادراک جداره‌های فعال در طراحی منظر خیابانی
(مطالعه موردی بافت میانی شهر شیراز، خیابان خیام)
فاطمه شمس، مهسا شعله، سهند لطفی، علی سلطانی

بررسی رابطه بین هوش هیجانی جوانان و تمایل آنها نسبت به نمادهای شهری
نسیم نجفی ظریفی، سانا لیتکوهی

تحلیلی مفهومی از قلمرو محله بر پایه ادراک ساکنین با بهره گیری از سیستم اطلاعات جغرافیایی (GIS)
(نمونه مطالعاتی: محلات شهر مشهد)
عمید الاسلام نقه‌الاسلامی

تاثیر نوع گازهای میانی پنجره‌های دو و سه جداره بر بار سرمایش و گرمایش ساختمان‌های اداری در اقلیم گرم و مرطوب،
گرم و خشک و سرد ایران
جلیل شاعری، رزا وکیلی نژاد، محمود یعقوبی

نشریه علمی معماری و شهرسازی ایران

دوره ۱۰، شماره ۱۸، پاییز و زمستان ۱۳۹۸

صاحب امتیاز: انجمن علمی معماری و شهرسازی ایران

مدیر مسئول: دکتر محسن فیضی

سردبیر: دکتر مصطفی بهزادفر

هیأت تحریریه (به ترتیب حروف الفبا):

دکتر ایرج اعتصام، استاد دانشکده عمران، معماری و هنر، دانشگاه آزاد اسلامی واحد علوم و تحقیقات

دکتر محمدرضا بمانیان، استاد دانشکده هنر و معماری، دانشگاه تربیت مدرس

دکتر مصطفی بهزادفر، استاد دانشکده معماری و شهرسازی، دانشگاه علم و صنعت ایران

دکتر مهدی خاکزند، دانشیار دانشکده معماری و شهرسازی، دانشگاه علم و صنعت ایران

دکتر داراب دبیا، استاد دانشکده معماری و شهرسازی، دانشگاه آزاد اسلامی واحد تهران مرکزی

دکتر محسن فیضی، استاد دانشکده معماری و شهرسازی، دانشگاه علم و صنعت ایران

دکتر یوسف گرجی مهلبانی، استاد دانشکده معماری و شهرسازی، دانشگاه بین‌المللی امام خمینی^(ره)

دکتر اصغر محمد مرادی، استاد دانشکده معماری و شهرسازی، دانشگاه علم و صنعت ایران

دکتر حامد مظاہریان، دانشیار دانشکده معماری، پردیس هنرهاز زیبا، دانشگاه تهران

دکتر فرهنگ مظفر، دانشیار دانشکده معماری و شهرسازی، دانشگاه علم و صنعت ایران

دکتر غلامحسین معماریان، استاد دانشکده معماری و شهرسازی، دانشگاه علم و صنعت ایران

دکتر هاشم هاشم‌نژاد، دانشیار دانشکده معماری و شهرسازی، دانشگاه علم و صنعت ایران

مدیر تحریریه: دکتر مهدی خاکزند، دانشیار دانشکده معماری و شهرسازی، دانشگاه علم و صنعت ایران

ویراستار فارسی: دکتر یوسف گرجی مهلبانی، استاد دانشکده معماری و شهرسازی، دانشگاه بین‌المللی امام خمینی^(ره)

ویراستار انگلیسی: انجمن معماری و شهرسازی ایران

کارشناس تحریریه: مهندس آناهیتا طبائیان

تیراز: ۵۰ نسخه

قیمت: ۵۰۰۰۰ ریال

صفحه‌بندی و فرمتهینگ: الهام منتی محب

چاپ: دانشگاه علم و صنعت ایران

نشانی نشریه: تهران، دانشگاه علم و صنعت ایران، دانشکده معماری و شهرسازی، دفتر انجمن علمی معماری و شهرسازی ایران.

کدپستی: ۱۳۱۱۴-۱۶۸۴۶

تلفن: ۰۲۱-۷۳۲۲۸۲۳۵

دورنگار: ۰۲۱-۷۷۲۴۰۴۶۸

نشانی الکترونیکی: iaau@iust.ac.ir

سایت و سامانه الکترونیکی نشریه انجمن: www.isau.ir

مقالات چاپ شده لزوماً نقطه نظرات نشریه نبوده و مسئولیت مقالات به عهده نویسنده‌گان محترم است.

این شماره با حمایت دانشکده معماری و شهرسازی دانشگاه علم و صنعت ایران به چاپ رسیده است.

این نشریه طبق آیین‌نامه کمیسیون انجمن‌های علمی وزارت علوم، تحقیقات و فناوری، و مجوز شماره ۳۷۲۱۱۰۰۳

مدیر کل دفتر سیاست‌گذاری و برنامه‌ریزی امور پژوهشی از پاییز ۱۳۸۹ علمی - پژوهشی محسوب می‌شود.

داوران این شماره

علی اسدپور

زهرا بزرگر

میترا حبیبی

محمد حسن خادم زاده

مهدی خاک زند

مهدی خان سفید

فاطمه رجبی

مهدی ساشورپور

علی شرقی

مینو شفایی

جواد نیری شکاری

محمد صالح شکوهی

اسماعیل شیعه

حجه الله عبدی اردکانی

پرسنلو عشرتی

مریم عظیمی

عباس غفاری

مهشید قربانیان

امیرضا کریمی آذری

یوسف گرجی مهلبانی

صدیقه لطفی

مریم محمدی

صدیقه معین مهر

سید مجید مفیدی

شهرزاد مقدم

مجتبی مهدوی نیا

فهرست

عنوان مقاله:

صفحه:

۵	شناسایی عوامل موثر بر اجتماعی‌پذیری در محیط آموزش معماری و تحلیل تعاملی بین آن‌ها (با رویکرد تصمیم‌گیری چندمعیاره فازی) الهام جعفری، حمزه غلامعلی‌زاده، محمود مدیری	دانشگاه هنر شیراز
۱۹	پایان‌نده به تاریخ در مداخلات معاصر: (قياس در طراحی زمینه‌ای بنها و مجموعه‌ها بین چند کشور اروپایی و ایران) غلامرضا جاپلی، اصغر محمدمرادی، آرش محمدمرادی، طاهره جامکلو	دانشگاه پیام نور
۳۹	بررسی اهمیت و حوزه‌های کاربرد لایه «حساسات شهری» در طراحی و برنامه‌ریزی شهری عصمت پاکن، محمدرضا پور جعفر	دانشگاه آزاد اسلامی
۶۱	تحقیق درباره مبادی فضاهای شهری رفتارگرا و دموکراتیک؛ یکپارچه‌سازی نظریات مانی ستارزاد فتحی، مجید زارعی، رحیم هاشم پور	دانشگاه بین المللی امام خمینی (ره)
۸۵	کاربرد روش تحلیل تماتیک در شناسایی قابلیت‌های معنایی تجربه شده حین حرکت روزمره در محیط انسان ساخته سمیه رفیعی، مجید صالحی‌نیا، قاسم مطلبی	دانشگاه علم و صنعت ایران
۹۹	تعیین زاویه بهینه استقرار سطوح قائم ساختمان بر اساس دریافت انرژی خورشیدی در اقلیم گرم و مرطوب (مطالعه موردی: شهرهای بندرعباس، بوشهر و اهواز) حسن اکبری، فاطمه سادات حسینی‌نژاد	دانشگاه علم و صنعت ایران
۱۱۳	ارزیابی و تحلیل وضعیت آسایش حرارتی فضای باز محلات مسکونی با استفاده از ساخته‌های حرارتی (نمونه موردی: محلات منتخب شهر اصفهان) فاطمه السادات مجیدی، شاهین حیدری، محمود قلعه‌نویی، مریم قاسمی سیجانی تأثیر وجود و گسترش آرامستان بر محله‌های هم‌جوار آن؛ (مورد پژوهی: آرامستان امامزاده سلطان ابراهیم، شهر قوچان) سامانه جیلی صدر آباد، شادی شکری یزدان آباد	دانشگاه مازندران
۱۲۷	باز زنده‌سازی منظر رودهای شهری با رویکرد تعامل سازنده بین انسان و محیط طبیعی؛ (مورد واکاوی نهر "شهرور" آمل) نرگس حمزه، حامد مظاہریان، محمدمصطفی ایزدی، مرتضی لطفی پور سیاهکلرودی	دانشگاه هنر تهران
۱۳۹	باز خوانی مؤلفه‌های مؤثر بر ادراک جداره‌های فعال در طراحی منظر خیابانی (مطالعه موردی بافت میانی شهر شیراز، خیابان خیام) فاطمه شمس، مهسا شعله، سهند لطفی، علی سلطانی	پژوهشگر
۱۵۹	بررسی رابطه بین هوش هیجانی جوانان و تمایل آنها نسبت به نمادهای شهری نسیم نجفی ظریفی، سانا زلیکوهی	دانشگاه علم و صنعت ایران
۱۷۹	تحلیلی مفهومی از قلمرو محله بر باشه ادراک ساکنین با بهره گیری از سیستم اطلاعات جغرافیایی (GIS) (نمونه مطالعاتی: محلات شهر مشهد) عمید الاسلام ثنه الاسلامی	دانشگاه هنر تهران
۱۹۳	تأثیر نوع گازهای میانی پنجره‌های دو و سه‌جداره بر بار سرمایش و گرمایش ساختمان‌های اداری در اقلیم گرم و مرطوب، گرم و خشک و سرد ایران	
۲۱۱	جلیل شاعری، رزا وکیلی نژاد، محمود یعقوبی	

تعیین زاویه بهینه استقرار سطوح قائم ساختمان بر اساس دریافت انرژی خورشیدی در اقلیم گرم و مرطوب

(مطالعه موردی: شهرهای بندرعباس، بوشهر و اهواز)

Determining The Optimum Orientation of Vertical Building Surfaces, Based on Solar Energy Receiving in The Hot and Humid Climate (Case Study: Bandar Abbas, Bushehr and Ahwaz Cities)

حسن اکبری^۱ (نویسنده مسئول)، فاطمه سادات حسینی نژاد^۲

تاریخ انتشار آنلاین:

۱۳۹۸/۱۱/۳۰

تاریخ پذیرش:

۱۳۹۸/۰۷/۱۱

تاریخ بازنگری:

۱۳۹۸/۰۲/۱۵

تاریخ ارسال:

۱۳۹۷/۰۵/۰۲

چکیده

افزایش نرخ شهرنشینی در دهه‌های اخیر و استفاده بی‌رویه از سوخت‌های فسیلی و انرژی‌های تجدیدناپذیر، موجب شده که طراحان و برنامه‌ریزان شهری، موضوع کنترل و بهینه‌سازی مصرف انرژی و استفاده از انرژی‌های تجدیدپذیر را در ساخت و سازها بیشتر از گذشته مورد توجه قرار دهند. با توجه به ویژگی‌های خاص اقلیمی نوار سواحل جنوبی کشور ایران، جهت‌گیری ساختمان‌ها در این مناطق لازم است بر مبنای استفاده بهینه از تابش خورشیدی و جریان باد تعیین شود. هدف این پژوهش تعیین بهترین جهت استقرار ساختمان‌ها بر اساس کسب حداقل انرژی در دوره گرم سال در شهرهای بندرعباس، بوشهر و اهواز است. برای دستیابی به این هدف، میزان انرژی تابشی دریافتی بر روی سطوح قائم به صورت نظری و واقعی با استفاده از روش محاسباتی قانون کسینوس و نقاله تابش اولگی، برای ماههای مختلف و در ۲۴ جهت جغرافیایی محاسبه شده و در نهایت بهترین جهت استقرار ساختمان‌ها مناسب با اقلیم برای شهرهای مورد مطالعه تعیین گردیده است. مطابق با نتایج به دست آمده، جهت استقرار بهینه با استفاده از روش‌های قانون کسینوس و نقاله تابش اولگی در شهرهای مورد مطالعه، برای ساختمان‌های یک، دو و چهار طرفه یکسان می‌باشد. مناسب‌ترین جهت استقرار به منظور دریافت بهینه میزان انرژی خورشیدی برای ساختمان‌های یک طرفه در شهرهای بندرعباس، بوشهر و اهواز جهت ۱۸۰ درجه جنوب و بعد از آن جهت ۱۶۵ درجه جنوب‌شرقی و غربی است. جهت استقرار مناسب برای ساختمان‌های دوطرفه در شهرهای مورد مطالعه جهت شمال-جنوب و بهترین جهت گیری برای ساختمان‌های چهار طرفه جهات (۷۵، ۱۰۵، -۱۵، ۱۶۵) و (۱۰۵، ۷۵، -۱۵) درجه است.

واژه‌های کلیدی:

انرژی خورشیدی، جهت‌گیری سطوح قائم، قانون کسینوس، نقاله تابش اولگی، اقلیم گرم و مرطوب.

۱. استادیار، دانشکده فنی و مهندسی، دانشگاه حق اردبیلی، اردبیل، ایران. h.akbari.arc@gmail.com

۲. دکتری شهرسازی، دانشکده معماری و شهرسازی، دانشگاه شهید بهشتی، تهران، ایران. Hosseaninezhad1359@gmail.com

کاهش بارهای حرارتی، برودتی فضاهای داخلی ضروری
می‌باشد.

۲- پیشینه تحقیق

به منظور تعیین جهت بهینه و سازگار با اقلیم فضاهای شهری و معماری بر اساس دریافت انرژی تابشی خورشید مطالعات اندکی صورت گرفته است. اغلب مطالعات انجام شده در زمینه رابطه بین فرم ساختمان و مصرف انرژی به صورت مقایسه تاثیر فرم‌های مختلف ساختمانی بر مصرف انرژی و یا توسعه مدل‌های ساده بر اساس تحلیل‌های آماری پیش‌بینی مصرف انرژی فرم‌های گوناگون انجام شده است (Wei et al., 2016). بین پارامترهای مرتبط با خورشید، گرمایش و نور روز از عوامل موثر در کاهش مصرف انرژی بوده که تحت تاثیر جهت‌گیری می‌باشند. مطالعات متعدد نشان داده‌اند که شکل ساختمان و جهت‌گیری در کاهش مصرف انرژی ساختمان موثر است و بین فشرده‌گی (نسبت سطح پوسته خارجی به حجم) ساختمان و مصرف انرژی آن همبستگی وجود دارد. فرم‌های با میزان فشرده‌گی بالا، مصرف انرژی کمتری به ویژه در اقلیم سرد و گرم دارند (Depecker et al., 2001; Ourghi et al., 2007; Al-Anzi et al., 2009). فرم و پوسته خارجی ساختمان مهمترین پارامترهای موثر بر اقلیم داخلی ساختمان بوده و اندازه و جهات استقرار پوسته خارجی بر عملکرد حرارتی ساختمان تاثیر مستقیم دارند (Oral & Yilmaz, 2003; Hemsath & Alagheband Bandhosseini, 2015). روش‌های تعیین میزان تابش کلی دریافتی خورشید در سطح زمین شامل (الف) اندازه‌گیری مستقیم، (ب) تحلیل‌های آماری، (پ) محاسبه مولفه‌های تابش مستقیم و پراکنده خورشید در یک لحظه معین از زمان و (ت) برآورد مولفه‌های تابش مستقیم و غیرمستقیم خورشید بر اساس ویژگی‌های فیزیکی پدیده تضعیف تابش در عبور از اتمسفر و برآورد تابش کلی در سطح زمین، می‌باشد. این روش‌ها در سه گروه روابط آماری یک متغیر، روابط آماری چند متغیره و روش‌های مبتنی بر محاسبه مولفه‌های تابش قبل دسته‌بندی می‌باشند (خلیلی و رضایی صدر, ۱۳۷۶). مدل‌های محاسباتی مختلفی جهت برآورد دقیق شدت تابش مستقیم و پراکنده خورشید روی یک سطح افقی بر حسب عواملی همچون نسبت آفتاب‌گیری (Angstrom, 1924; Prescott, 1940; Duffie & Beckman, 1977)، دمای ماقزیم و رطوبت نسبی (Sabbagh et al.; 2006)، زاویه تابش خورشید و نسبت آفتاب‌گیری (Samimi, 1994)، ارتفاع از سطح دریا (Coppolino, 1990)

۱- مقدمه

با صنعتی شدن جوامع بشری و پیشرفت روزافزون علم و فناوری و توسعه صنایع، نیاز به مصرف و استخراج سوخت‌های فسیلی به اوج خود رسیده است. به دلیل محدودیت منابع فسیلی، آلودگی زیستمحیطی ناشی از سوخت مواد فسیلی، گرم شدن هوا و اثر گلخانه‌ای و بسیاری از عوامل آلاینده دیگر، استفاده از انرژی‌های تجدیدپذیر و از جمله انرژی خورشیدی به منظور کاهش و صرفه‌جویی در مصرف انرژی، کنترل عرضه و تقاضای انرژی و کاهش انتشار گازهای آلاینده با استقبال فراوانی روبرو شده است. کشور ایران با داشتن حدود ۳۰۰ روز آفتابی در سال جزو بهترین کشورهای دنیا در زمینه پتانسیل انرژی خورشیدی در جهان است. موقعیت جغرافیایی ایران موجب شده که امکان دریافت میزان قابل توجهی انرژی تابشی خورشید فراهم باشد. در این شرایط، با توجه به محدود بودن ذخایر سوخت‌های فسیلی و آلودگی‌های زیستمحیطی ناشی از سوزاندن آنها، طراحی شهری و معماری مناسب می‌تواند با استفاده از سامانه‌های فعال و غیرفعال، به کاهش انرژی مصرفی نهایی ساختمان منجر شود. شناخت دقیق شرایط اقلیمی و تعیین پتانسیل‌ها و امکانات محیطی محل قرارگیری ساختمان، برای دست‌یابی به یک معماری همساز با اقلیم و پایدار به ویژه از منظر انرژی ضروری می‌باشد. انتخاب جهت‌گیری بهینه ساختمان به منظور به حداقل رساندن استفاده از روش‌نایابی طبیعی روز و به حداقل رساندن انرژی دریافتی در ماههای گرم و حداقل دریافت در دوره‌های سرد سال می‌تواند تاثیر به سزاگی در صرفه‌جویی و بهره‌وری انرژی داشته باشد. با توجه به اقلیم گرم و مرطوب شهرهای سواحل جنوبی کشور، جریان هوا نقش بسیار مهمی در احساس آسایش حرارتی دارد. اگر جریان باد با سایه همساز شود امکان تبخیر شدن عرق و خنک شدن بدن در این اقلیم فراهم شده و افراد در دمای بالاتر از مزد آسایش می‌توانند به فعالیت خود ادامه دهند. لذا جهت‌گیری ساختمان‌ها در این مناطق می‌بایست به صورت همزمان براساس استفاده بهینه از تابش خورشیدی و جریان باد تعیین گردد. این تحقیق درست دارد است تا با بررسی میزان انرژی تابشی مستقیم دریافتی سطوح قائم جداره ساختمان‌ها، بهترین جهت‌های استقرار ساختمان را مطابق با اقلیم منطقه برای شهرهای بندرعباس، بوشهر و اهواز تعیین نماید. لذا انجام این تحقیق و تعیین بهترین جهت‌گیری ساختمان در شهرهای مورد مطالعه به منظور دست‌یابی به یک معماری همساز با اقلیم و

میزان انطباق مساکن شهر جلفا با زاویه تابش آفتاب نشان دادند که استقرار بهینه ساختمان در شهر جلفا از نقطه نظر تابش آفتاب در جهت شرقی- غربی بوده و جهات ۱۶۵ جنوب شرقی تا ۱۶۵ جنوب غربی نیز جهات قابل قبول می باشد (محمدزاده و همکاران، ۱۳۹۴). در تعیین جهت بهینه استقرار ساختمان در شهر کاشان بر اساس شرایط اقلیمی نتایج نشان داد که جهت مناسب استقرار برای ساختمان های دوطرفه، جهت (۱۸۰، ۰) درجه و برای ساختمان های چهار طرفه، جهت (۱۲۰، -۶۰، ۳۰، ۱۵۰) درجه می باشد (کربلائی درئی و حجازی زاده، ۱۳۹۶). عظمتی و حسینی در بررسی تاثیر جهت گیری ساختمان های آموزشی بر بارهای حرارتی و برودتی در اقلیم های مختلف، جهت های مناسب را از لحاظ بار حرارتی و برودتی بررسی و جهت گیری مناسب از نظر صرفه جویی مصرف انرژی سالیانه در اقلیم های مختلف را مشخص نموده اند (عظمتی و حسینی، ۱۳۹۲). حجازی زاده و همکاران در بهینه سازی جهت گیری فضاهای آزاد در شهر دزفول بر اساس شرایط اقلیمی نشان دادند که در شهر دزفول جهت استقرار بهینه حیاط ساختمان جهت شمال شرقی با کشیدگی در راستای شمالی- جنوبی می باشد. جهت استقرار معابر نیز به منظور جلوگیری از ماندگاری گرمای آفتاب در سطح خیابان ها و معابر جهات غربی- شرقی و ۴۵ درجه شرقی با توجه به تداخل دو عامل درجه حرارت کم و عدم تابش آفتاب و جلوگیری از ورود بادهای گرم مناسب ترین جهت است. همچنین استقرار ساختمان در جهت بهینه ۴۵ درجه و جهات ۳۰ درجه و ۱۵ درجه شمالي از مبدأ قبل قبول ۳۰ درجه و ۱۵ درجه شمالي از مبدأ جنوب در اقلیم شهر اهواز پیشنهاد شده است (لشکری و همکاران، ۱۳۹۰). حسین آبادی و همکاران (۱۳۹۱)، در بررسی طراحی اقلیمی ساختمان های مسکونی شهر سبزوار با تأکید بر جهت گیری و عمق سایبان نشان دادند که جهات مناسب استقرار بنا با توجه به تابش خورشیدی برای ساختمان های یک طرفه، جهات ۱۶۵ و ۱۵۰ درجه جنوب شرقی و برای ساختمان های دوطرفه، جهات (۱۵- ۱۶۵) درجه می باشد. در تعیین جهت های مناسب استقرار ساختمان به منظور دریافت بهینه تابش خورشیدی در شهر زنجان نتایج نشان می دهد که جهت مناسب و قابل قبول استقرار ساختمان به منظور دریافت بهینه انرژی خورشید، جهات ۱۳۵ درجه جنوب شرقی تا ۲۲۵ درجه جنوب غربی می باشد (Zamani et al., 2016).

۳- روش تحقیق

جهت محاسبه میزان انرژی مستقیم تابشی دریافتی سطوح قائم در جهت های مختلف جغرافیایی، در مرحله اول پارامترهای مرتبط با هندسه خورشید شامل زاویه ساعتی، زاویه انحراف (مدار میل)، زاویه سمت، زاویه زنیت و زاویه ارتفاع خورشید در تمامی ساعات مختلف روز در شهرهای مورد مطالعه با استفاده از روابط محاسباتی و نرم افزار Q-

نسبت آفتاب گیری، عرض جغرافیایی، رطوبت نسبی و دما (Neuwirth, 1980)، ابرناکی و زاویه زنیت خورشید (Paltridge & Proctor, 1976)، عرض جغرافیایی، ارتفاع از سطح دریا، ساعت آفتابی و میانگین دما (Sozen et al.; 2004)، ساعت آفتابی، بارش، دمای نقطه شبنم، رطوبت Bakirci, 2009; Maghrabi, 2009; (Wu et al., 2007) پیشنهاد شده است. با استفاده از نقاله تابش انرژی خورشیدی اولگی و دیاگرام موقعیت خورشید، می توان میزان انرژی تابشی مستقیم خورشید را در هر ساعت از روز بر سطوح مختلف افقی، قائم و شبیدار ساختمان محاسبه کرد (کسمایی، ۱۳۸۱). بررسی تاثیر تابش دریافتی خورشید در بدنه های ساختمان بر مصرف انرژی پخش خانگی در شهر شیراز، نشان داد که جهت مناسب استقرار از نظر میزان دریافت انرژی و مصرف، جهت گیری اقلیمی در راستای جنوب شرقی و شمال غربی می باشند (برزگر و حیدری، ۱۳۹۲؛ Barzegar et al., 2012). لشکری و همکاران جهت گیری بهینه ساختمانی در شهر اهواز بر اساس شرایط اقلیمی را مورد بررسی قرار دادند. بر اساس نتایج این تحقیق بیشترین مقدار انرژی دریافتی سطوح قائم مربوط به ۱۵ درجه شرقی و ۳۰ درجه جنوب شرقی می باشد. همچنین استقرار ساختمان در جهت بهینه ۴۵ درجه و جهات قبل قبول ۳۰ درجه و ۱۵ درجه شمالي از مبدأ جنوب در اقلیم شهر اهواز پیشنهاد شده است (لشکری و همکاران، ۱۳۹۰). حسین آبادی و همکاران (۱۳۹۱)، در بررسی طراحی اقلیمی ساختمان های مسکونی شهر سبزوار با تأکید بر جهت گیری و عمق سایبان نشان دادند که جهات مناسب استقرار بنا با توجه به تابش خورشیدی برای ساختمان های یک طرفه، جهات ۱۶۵ و ۱۵۰ درجه جنوب شرقی و برای ساختمان های دوطرفه، جهات (۱۵- ۱۶۵) درجه می باشد. در تعیین جهت های مناسب استقرار ساختمان به منظور دریافت بهینه تابش خورشیدی در شهر زنجان نتایج نشان می دهد که جهت مناسب و قابل قبول استقرار ساختمان به منظور دریافت بهینه انرژی خورشید، جهات ۱۳۵ درجه جنوب شرقی تا ۲۲۵ درجه جنوب غربی می باشد (Zamani et al., 2016).

اساس تابش انرژی خورشید در همدان، نتایج بیانگر اینست که مناسب ترین جهت برای نمای ساختمان های یک طرفه، جهت ۱۶۵ درجه جنوب شرقی- غربی و برای ساختمان های دو طرفه جهت شمال- جنوب و برای ساختمان های چهار طرفه جهت (۷۵، ۱۰۵، ۱۵- ۱۶۵) می باشد (حسینی و همکاران، ۱۳۹۸). محمدزاده و همکاران در مقاله مطالعه

$$I_{DN}=I^{\circ} \exp(-\alpha / \sinh) \quad (2)$$

در رابطه (۲)، I_{DN} حرارت حاصل از تابش مستقیم و عمودی آفتاب بر حسب $(BTU/H/FT^2)$ ، α ثابت خورشیدی Ashrae، بر حسب $(BTU/H/FT^2)$ ، α ضریب خاموشی جو (1995) و h زاویه تابش خورشید بر حسب درجه می باشد. همچنین θ زاویه تلاقي میان خورشید و خط عمود بر یک سطح عمودی (دیوار) می باشد که به وسیله معادله کسینوس کروی تعیین می گردد (Watson & Labs, 1983).

$$\cos\theta=\cosh \cos(Z-N) \quad (3)$$

در رابطه (۳)، h زاویه تابش، Z زاویه جهت تابش و N زاویه جهت دیوار که در مسیر عقربه های ساعت از طرف شمال و بر حسب درجه اندازه گیری می شود.

محدوده مورد مطالعه: بر اساس طبقه بندی اقلیمی کوپن شهرهای بندرعباس، بوشهر و اهواز در منطقه اقلیمی گرم و مرطوب (سواحل جنوبی) با علامت اختصاری «BShsn» یا آب و هوای نیمه صحرایی عرض های پایین جغرافیایی قرار دارد (گنجی، ۱۳۳۳). از ویژگی های این اقلیم، تابستان بسیار گرم و مرطوب و زمستان معتدل می باشد. در این اقلیم رطوبت هوا در تمام فصل های سال زیاد است و به همین دلیل اختلاف درجه حرارت هوا در روز و شب و در فصل های مختلف کم می باشد. همچنین اقلیم منطقه متاثر از بادهای صحرایی عربستان (نامناسب) و بادهای ساحلی (مناسب) می باشد. این منطقه اقلیمی در امتداد یک نوار ساحلی باریک و نسبتاً طولانی است که از مصب اروندرود در جنوب غربی استان خوزستان شروع شده و به خلیج گواتر در جنوب شرقی استان سیستان و بلوچستان ختم می شود (کسمایی، ۱۳۸۱). جدول ۱ ویژگی های اقلیمی و جغرافیایی شهرهای مورد مطالعه را نشان می دهد.

استخراج گردید. در مرحله دوم با استفاده از روش محاسباتی قانون کسینوس و نقاله تابش اولگی، میزان انرژی مستقیم تابیده شده در هر ساعت از روز بر روی سطوح قائم در ۲۴ جهت جغرافیایی به صورت نظری و واقعی محاسبه گردید. در مرحله سوم بر اساس حداقل دمای پایه آسایش حرارتی، انرژی دریافتی سطوح به تفکیک دوره های سرد و گرم سال محاسبه گردید. در مرحله چهارم مناسب ترین جهات برای استقرار ساختمان های یک، دو و چهار طرفه بر اساس بیشترین مقدار اختلاف بین انرژی دریافتی دوره سرد و گرم و بیشترین درصد دریافت تابش در دوره سرد سال تعیین گردید.

روش محاسبه انرژی تابشی: در روش نموداری اولگی با استفاده از انطباق نقاله تابش انرژی خورشیدی اولگی و دیاگرام موقعیت خورشید در عرض های جغرافیایی مورد نظر، میزان انرژی تابشی تابیده به سطوح عمودی در جهت های مختلف و در هر ساعت از روز محاسبه گردید. در روش محاسباتی قانون کسینوس میزان انرژی تابشی مستقیم بر سطوح عمودی با استفاده از روابط زیر انجام گردید. میزان تابش مستقیم خورشیدی رسیده به یک سطح در روی سطح زمین بر اساس رابطه زیر محاسبه می گردد .(Watson & Labs, 1983)

$$I_S=I_N \times \cos\theta \quad (1)$$

در رابطه (۱)، I_S شدت تابش بر روی سطح بر حسب I_N ($BTU/H/FT^2$) شدت تابش خورشید بر روی سطح عمود بر پرتو خورشید بر حسب $(BTU/H/FT^2)$ و θ (زاویه زنیت)، زاویه میان شعاع خورشید و خط عمود بر سطح می باشد. در رابطه بالا مقدار I_N از طریق رابطه زیر محاسبه می گردد که توسط استیونسن پیشنهاد شده است (کسمایی، ۱۳۸۱). (Ashrae, 1995)

Tabel 1: Geographical-climatic characteristics of the studied cities (Source: IRIMO, 2018)

City	Latitude	Longitude	Elevation (m)	Annual Temp. (°C)			Ave. RH (%)
				Max.	Min.	Ave.	
Bandar Abbas	27° 13' N	56° 22' E	9.8	32.1	21.8	27	65
Bushehr	28° 59' N	50° 50' E	19.6	29.7	19.5	24.6	65
Ahwaz	31° 20' N	48° 40' E	22.5	25.3	17.6	32.9	43

گرمایشی و سرمایشی مشخص می گردد. دمای پایه جهت محاسبه روز- درجه سرمایش، ۲۱ درجه و برای روز- درجه گرمایش، ۱۸ درجه سانتی گراد بوده و در مناطق گرم و مرطوب حداقل دمای فضاهای داخلی در ماه های گرم ۲۵ درجه و حداقل دما در ماه های سرد ۲۰ درجه می باشد

تغییرات دماهای دو- سه ساعته شهرهای بندرعباس، بوشهر و اهواز با استفاده از آمار ایستگاه های سینوپتیک استخراج گردید (جدول ۲). با استفاده از تغییرات دمای ساعتی هر ماه و دمای پایه جهت محاسبه روز- درجه گرمایش و روز- درجه سرمایش، موقع نیاز به انرژی

درجه) و در شهر اهواز (۲۲ و ۲۶ درجه) میباشد (قانقرمه و همکاران، ۱۳۹۷). با توجه به حداقل دمای پایه آسایش، بیشتر ایام سال در شهرهای مورد مطالعه در دوره گرم قرار گرفته و نیاز به کنترل تابش بر روی جدارهای و ممانعت از ورود انرژی خورشید به داخل ساختمان میباشد.

(مقررات ملی ساختمان ایران- مبحث ۱۹، ۱۳۸۸). آستانه دمای پایه جهت محاسبه شاخص روز- درجه گرمایش و سرمایش (موقع نیاز به دریافت و عدم دریافت انرژی تابشی) بر اساس ۵۰ درصد داده‌های میانی منطقه آسایش، در شهر بندرعباس (۲۱/۲ و ۲۳/۹ درجه)، در شهر بوشهر (۲۱ و ۲۲ درجه) و در شهر اهواز (۲۲ و ۲۶ درجه) میباشد.

Table 2: The Average hourly temperature of studied cities (Source: Energyplus, 2018; IRIMO, 2018)

City	Hours	Jan	Feb	Mar	Apr	May	June	July	Aug	Sep	Oct	Nov	Dec
Bandar Abbas	6	13.6	14.4	18	22.1	25.6	28.9	31.6	30.6	28.1	24.4	18.5	14.1
	8	17.3	18.4	22.8	26.9	30.5	33.2	34.6	33.2	32.3	29.3	23.8	18.1
	10	20.5	21.6	25.8	29.5	33	35.4	36.2	34.8	34.6	32.3	27.2	21.6
	12	22.6	23.6	27.4	30.6	34.3	36.4	36.9	35.7	35.6	33.6	29	23.8
	14	22.7	23.8	27.9	30.7	34.8	37.2	37.1	35.9	35.6	33.3	29.2	24.1
	16	21.3	22.8	27.1	29.7	34.4	36.4	36.4	35.1	34.5	31.9	27.4	21.4
	18	19.3	21.2	25.5	28.2	33.2	34.9	35.3	34.1	33.1	30.1	25	18.5
	20	16.2	18.9	22.9	26.2	31.9	33.2	35.7	37.6	34.6	30	24.5	19.1
Bushehr	9	18.3	20.2	24.1	26.7	32.1	34.1	36.1	37.9	35.2	30.9	26.4	21.4
	12	18.7	20.6	23.7	26.8	32.4	34.1	36.2	37.8	35.5	31.4	26.6	21.5
	15	16.1	18	21.7	25.4	30.9	33.1	35	36.6	33.8	29.4	24.3	19.3
	18	15.3	17.1	21	23.6	29.5	31.2	33.3	34.5	32.2	26.9	22.8	18.1
	20	7.2	8.6	12.3	17.4	22.7	25.6	27.9	27.1	23.1	18.5	12.8	18.5
	22	8.2	9.6	13.5	18.7	24.2	27.5	29.5	29	25	20	14	14
Ahwaz	10	13.2	15.2	19.7	25.9	32.1	36.7	38.5	37.7	34.3	28.3	20.6	14.9
	12	16	18.5	23.4	30	36.9	41.8	43.4	43	39.5	33.1	24.5	17.9
	14	17.5	20.3	25.2	32.1	39.2	44.5	46.3	45.8	42.5	35.9	26.5	19.4
	16	16.8	19.5	24.2	30.9	37.9	43	44.9	44.1	40.9	34.3	25.5	18.6
	18	14.2	16.6	21.2	27.5	34	38.7	40.5	39.9	36.5	30.3	22.2	16

ایجاد سایه و هدایت جریان هوا به داخل بنا به منظور دست یابی به آسایش حرارتی ساکنین ضروری میباشد. لذا در این مناطق جهت استقرار ساختمان براساس شرایط اقلیمی لازم است طوری باشد که در دوره‌های گرم شدت تابش آفتاب بر سطوح آن به حداقل رسیده و امکان نفوذ مستقیم اشعه خورشید به فضاهای داخلی وجود نداشته باشد. همچنین برای ایجاد آسایش حرارتی در فصول گرم سال، ایجاد حداکثر جریان هوا و تهویه طبیعی در فضاهای داخلی ساختمان ضروری میباشد. با توجه به تغییرات دمای ساعتی (جدول ۲) و حداقل دمای آسایش حرارتی، دوره ماههای گرم در شهرهای مورد مطالعه بیشتر از دوره ماههای سرد میباشد. لذا تعیین موقعیت بهینه قرارگیری ساختمان‌ها با هدف کسب حداقل انرژی خورشیدی در دوره گرم سال در شهرهای مورد مطالعه ملاک عمل میباشد.

با استفاده از روش محاسباتی قانون کسینوس و نقاله تابش اولگی، ابتدا مقدار انرژی مستقیم دریافتی سطوح قائم به صورت تئوریک برای ماههای مختلف و درجه ۲۴ جهت جغرافیایی برای شهرهای مورد مطالعه محاسبه گردیده، سپس از حاصل ضرب انرژی دریافتی نظری در متوسط درصد

۴- یافته‌های تحقیق

شدت تابش آفتاب و حرارت حاصل از آن در زمین به عوامل متعددی از جمله وضعیت آب و هوا، موقعیت خورشید، عرض جغرافیایی و به ویژه ساعات آفتابی روزانه منطقه مورد نظر بستگی دارد. ولی مقدار انرژی خورشیدی تابیده شده به یک سطح، علاوه بر موارد فوق به زاویه برخورد پرتو خورشید به سطح مورد نظر نیز بستگی دارد. با تغییر سمت و زاویه خورشید، مقدار انرژی خورشیدی تابیده به سطوحی که نسبت به پرتو خورشید زوایای مختلفی دارند، در طول سال و در ساعات مختلف روز کاملاً متفاوت است. جهت‌گیری یکی از عوامل اصلی در طراحی پایدار فضاهای شهری و معماری است. جهت‌گیری مناسب در کنار نسبت ابعادی و فرم مناسب ساختمان‌ها، یکی از مهمترین عواملی است که به بهره‌گیری مناسب از انرژی‌های طبیعی به ویژه انرژی خورشیدی به صورت فعلی و غیرفعال کمک می‌کند. اهمیت تابش آفتاب در طراحی اقلیمی به نوع اقلیم منطقه به ویژه دمای روزانه و میزان ساعات آفتابی بستگی دارد. به دلیل بالا بودن دما و رطوبت هوا در بیشتر مواقع از سال و عدم آسایش اقلیمی در شهرهای سواحل جنوبی ایران به ویژه بندرعباس و بوشهر،

ساعت آفتابی ماههای مختلف، میزان انرژی مستقیم دریافتی
 طول روز و درصد ساعات آفتابی را در شهرهای مورد مطالعه
 نشان می‌دهد.

بر روی دیوار قائم به صورت واقعی به دست می‌آید. جدول ۳

Table 3. The day length and percentage of sunshine hours in studied cities (source: IRIMO, 2018)

		Jan	Feb	Mar	Apr	May	June	July	Aug	Sep	Oct	Nov	Dec
Bandar Abbas	Ave. Day length*	10.6	11.3	12.1	12.9	13.5	13.7	13.4	12.8	11.6	11.2	10.5	10.3
	Ave. sunshine hours	7.4	7.3	7.3	8.2	10.1	9.9	8.8	8.7	8.5	9.4	8.4	7.5
	sunshine hours (%)	70	64	60	64	75	72	65	68	74	84	80	73
Bushehr	Ave. Day length*	10.5	11.3	12.1	12.9	13.5	13.8	13.5	12.9	11.6	11.2	10.5	10.2
	Ave. sunshine hours	6.6	6.8	7	7.6	9.5	10.7	10.2	10.5	9.5	9.3	7.5	6.4
	sunshine hours (%)	63	61	58	59	70	78	76	82	82	83	72	62
Ahwaz	Ave. Day length*	10.3	11.2	12.1	13	13.7	14	13.7	13	11.6	11.1	10.3	10
	Ave. sunshine hours	5.8	6.8	6.8	7.5	9.3	10.6	10.9	10.7	9.7	8.8	6.9	5.8
	sunshine hours (%)	56	61	56	58	68	75	80	83	84	79	67	58

*The day length is calculated by the writers.

و اهواز نشان می‌دهد. همچنین بر اساس نتایج حاصل از جدول ۴، میزان انرژی دریافتی واقعی سطوح قائم دوره‌های سرد و گرم در جدول‌های ۵ و ۶ را بدینهاست.

جدول ۴ میزان انرژی کل (سالیانه) دریافتی سطوح قائم را به صورت نظری و واقعی و بر اساس روش محاسباتی قانون کسینوس و نقاله تابش اولگی در شهرهای بندرعباس، بوشهر

Table 4: The amount of theoretical and real energy received by vertical surfaces in studied cities (BTU/H/FT2) (T: Theoretical energy, R: Real energy)

	Wall orientation	Law of Cosines		Olgay chart		Wall orientation	Law of Cosines		Olgay chart	
		T	R	T	R		T	R	T	R
Bandar Abbas	North	750.8	529.2	856	592.1	±105	9959.2	7066.3	9370	6647
	±15	1247.9	869.7	1290	901.6	±120	10637.5	7580.6	9856	6987.7
	±30	2450.7	1700.3	2369	1669.9	±135	10914.5	7814.5	10117	7173
	±45	3991.4	2779.2	3915	2771.2	±150	10929.7	7867.5	10053	7121.9
	±60	5742.2	4020.1	5793	4106.7	±165	10705.2	7748.5	9314	6567.1
	±75	7425.2	5223.2	7145	5069.1	South	10541.7	7650.7	9636	6814.1
	±90	8793.4	6213.1	8349	5923.7	±105	9961.5	7038.2	9503	6745.6
Bushehr	North	715.2	531.7	790	614.2	±120	10698.8	7521.6	10155	7125.9
	±15	1195.8	879.5	1239	958.8	±135	11047	7724.7	10334	7155.4
	±30	2377.3	1734.1	2378	1813.6	±150	11125.6	7732.5	9991	6826
	±45	3900.3	2824.1	3877	2907.5	±165	10953.7	7570.4	10212	6844.9
	±60	5647.8	4058.4	5450	4017.9	South	10817.1	7458.8	9942	6615.7
	±75	7347	5245.6	7088	5157.4	±105	9974.9	6888.6	9493	6608.8
	±90	8746.9	6211.7	8408	6040.7	±120	10853	7427.1	10332	7084.6
Ahwaz	North	638.2	471.5	638	504.1	±135	11359.3	7698.3	10705	7213.6
	±15	1080.6	792.7	1119	874.6	±150	11584.2	7767.1	10790	7134.3
	±30	2212.7	1610.6	2277	1745.8	±165	11522.3	7651.5	10685	6922.5
	±45	3707.5	2671.7	3746	2806	South	11460	7581.5	10525	6748.1
	±60	5442.4	3872.8	5172	3777.8	±105	9974.9	6888.6	9493	6608.8
	±75	7174.1	5048.8	7005	5040.7	±120	10853	7427.1	10332	7084.6
	±90	8648.9	6028	8282	5857.9	±135	11359.3	7698.3	10705	7213.6

Table 5: The amount of direct energy received by vertical surfaces in one-sided buildings in Bandar Abbas city (BTU/H/FT2)

Wall orientation	Law of Cosines				Olgay chart					
	Period Cold		Period Hot		Period Cold		Period Hot			
	Amount	%	Amount	%	Difference	Amount	%	Amount	%	Difference
North	0	0	529.2	100	-529.2	0	0	592.1	100	-592.1
±15	10.6	1.2	859.2	98.8	-848.6	0	0	901.6	100	-901.6
±30	72.9	4.3	1627.4	95.7	-1554.5	64	3.8	1606	96.2	-1542
±45	259.7	9.3	2519.5	90.7	-2259.9	202	7.3	2569.2	92.7	-2367.3
±60	596	14.8	3424.1	85.2	-2828	579.3	14.1	3527.4	85.9	-2948.1
±75	912.9	17.5	4310.4	82.5	-3397.5	733.1	14.5	4336	85.5	-3602.9
±90	1090.1	17.5	5123	82.5	-4032.8	894	15.1	5029.7	84.9	-4135.7
±105	1445.3	20.5	5621	79.5	-4175.7	1222.5	18.4	5424.5	81.6	-4202

Wall orientation	Law of Cosines						Olgay chart					
	Period Cold		Period Hot		Difference	Period Cold		Period Hot		Difference		
	Amount	%	Amount	%		Amount	%	Amount	%			
±120	1544.5	20.4	6036.1	79.6	-4491.6	1309	18.7	5678.7	81.3	-4369.7		
±135	1525.1	19.5	6289.4	80.5	-4764.3	1350.2	18.8	5822.8	81.2	-4472.6		
±150	1689.7	21.5	6177.9	78.5	-4488.2	1517.3	21.3	5604.6	78.7	-4087.4		
±165	1854	23.9	5894.5	76.1	-4040.5	1666.2	25.4	4900.9	74.6	-3234.8		
South	1857.4	24.3	5793.3	75.7	-3935.8	1673.9	24.6	5140.2	75.4	-3466.3		

Table 6: The amount of direct energy received by vertical surfaces in one-sided buildings in Bushehr city
(BTU/H/FT2)

Wall orientation	Law of Cosines						Olgay chart					
	Period Cold		Period Hot		Difference	Period Cold		Period Hot		Difference		
	Amount	%	Amount	%		Amount	%	Amount	%			
North	13.3	2.5	518.3	97.5	-505	0.0	0.0	614.2	100.0	-614.2		
±15	53.5	6.1	826	93.9	-772.5	10.3	1.1	948.5	98.9	-938.2		
±30	174.8	10.1	1559.3	89.9	-1384.4	106.6	5.9	1707	94.1	-1600.3		
±45	469.3	16.6	2354.8	83.4	-1885.5	366	12.6	2541.5	87.4	-2175.5		
±60	850.1	20.9	3208.3	79.1	-2358.2	690.8	17.2	3327.1	82.8	-2636.3		
±75	1341.7	25.6	3903.9	74.4	-2562.2	1115.9	21.6	4041.5	78.4	-2925.6		
±90	1741.6	28	4470.1	72	-2728.5	1508.4	25.0	4532.2	75	-3023.8		
±105	2259.2	32.1	4779	67.9	-2519.8	2005.4	29.7	4740.2	70.3	-2734.8		
±120	2656.2	35.3	4865.3	64.7	-2209.1	2393.7	33.6	4732.2	66.4	-2338.5		
±135	2951	38.2	4773.7	61.8	-1822.6	2685.8	37.5	4469.6	62.5	-1783.9		
±150	3202.2	41.4	4530.2	58.6	-1328	2875.2	42.1	3950.9	57.9	-1075.7		
±165	3402.8	44.9	4167.6	55.1	-764.7	3244.3	47.4	3600.6	52.6	-356.2		
South	3419.9	45.9	4038.9	54.1	-619	3172.3	48.0	3443.4	52	-271.1		

Table 7: The amount of direct energy received by vertical surfaces in one-sided buildings in Ahwaz city
(BTU/H/FT2)

Wall orientation	Law of Cosines						Olgay chart					
	Period Cold		Period Hot		Difference	Period Cold		Period Hot		Difference		
	Amount	%	Amount	%		Amount	%	Amount	%			
North	12.1	2.6	459.4	97.4	-447.3	0.0	0.0	504.1	100.0	-504.1		
±15	46.1	5.8	746.6	94.2	-700.4	6.4	0.7	868.3	99.3	-861.9		
±30	151.3	9.4	1459.4	90.6	-1308.1	81.9	4.7	1663.9	95.3	-1582		
±45	405.7	15.2	2266	84.8	-1860.3	320.1	11.4	2485.9	88.6	-2165.9		
±60	817.7	21.1	3055.1	78.9	-2237.3	697.6	18.5	3080.2	81.5	-2382.7		
±75	1308.2	25.9	3740.6	74.1	-2432.5	1110.4	22	3930.3	78	-2820		
±90	1702.7	28.2	4325.3	71.8	-2622.6	1479.5	25.3	4378.3	74.7	-2898.8		
±105	2236.5	32.5	4652.1	67.5	-2415.6	1988.8	30.1	4620	69.9	-2631.2		
±120	2607.1	35.1	4820	64.9	-2212.9	2364.3	33.4	4720.3	66.6	-2356.1		
±135	3001.2	39	4697.1	61	-1695.8	2773.9	38.5	4439.6	61.5	-1665.7		
±150	3239.6	41.7	4527.4	58.3	-1287.8	3026.6	42.4	4107.8	57.6	-1081.2		
±165	3463.7	45.3	4187.8	54.7	-724	3259.7	47.1	3662.8	52.9	-403.1		
South	3450.3	45.5	4131.2	54.5	-680.9	3187.4	47.2	3560.8	52.8	-373.4		

جغرافیایی تعیین می‌گردد. تصویر ۱ تغییرات مقدار انرژی خورشیدی دریافتی را به صورت سالیانه و به تفکیک موقع سرد و گرم در شهرهای مورد مطالعه نشان می‌دهد.

با توجه به میزان انرژی کل دریافتی بر روی سطوح قائم و به تفکیک دوره‌های سرد و گرم و اختلاف بین آنها، اولویت‌های استقرار ساختمان در جهت‌های مختلف

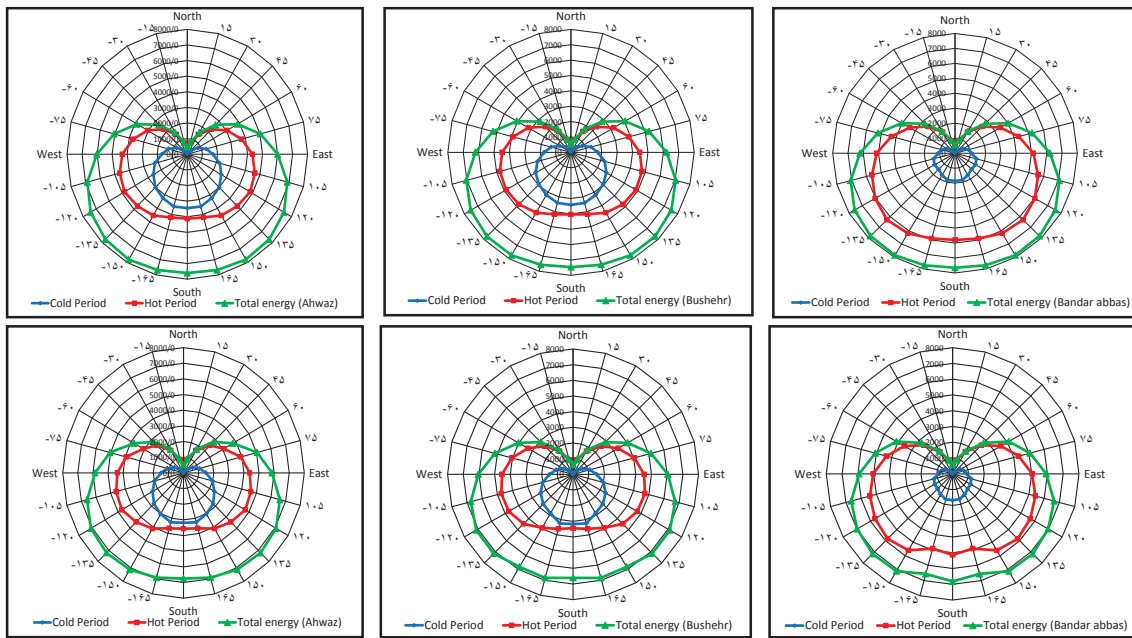


Fig. 1 The amount of received radiation in all directions throughout the year (Top: Based on Law of cosines; Bottom: Based on Olgyay chart)

مورد مطالعه مربوط به جهت شمال و ۱۵ درجه جنوب‌شرقی و غربی می‌باشد. هر چند به منظور دریافت حداقل انرژی در دوره گرم سال در شهرهای مورد مطالعه جهت شمال می‌تواند جهتی مناسبی باشد ولی با توجه به دریافت بسیار کم انرژی در دوره سرد بین ۰-۲/۶ درصد و همچنین قرارگیری پشت به بادهای مطلوب ساحلی، جهت شمال، جهت مناسبی برای استقرار ساختمان و فضاهای شهری نمی‌باشد. با توجه به اینکه بیشتر ایام سال در این شهرها دما و رطوبت بالاتر از حد آسایش قرار داد، لذا بهترین جهات استقرار ساختمان در شهرهای مورد مطالعه بر اساس دریافت حداقل میزان انرژی خورشید در دوره گرم تعیین می‌گردد. بر همین اساس بهترین جهت استقرار برای ساختمان‌های یک طرفه بر اساس روش قانون کسینوس در شهرهای بندرعباس، بوشهر و اهواز جهت ۱۸۰ درجه جنوب بوده و حداقل میزان انرژی دریافتی در دوره گرم بر اساس روش مذکور به ترتیب ۷۵/۷، ۵۴/۱ و ۵۴/۵ درصد می‌باشد. همچنین بهترین جهت استقرار برای ساختمان‌های یک طرفه بر اساس نقاله تابش اولگی در شهر بندرعباس جهات ۱۶۵ درجه جنوب‌شرقی و غربی با دریافت حداقل ۷۴/۶ درصد و در شهر بوشهر و اهواز جهت ۱۸۰ جنوب به ترتیب با دریافت حداقل ۵۲/۸ و ۵۲/۸ درصد انرژی در دوره گرم سال می‌باشد. همچنین با توجه به میزان انرژی دریافتی در دوره گرم، جهات ۱۶۵ درجه جنوب‌شرقی و غربی، اولویت دوم و جهات ۱۵۰ درجه جنوب‌شرقی و غربی، اولویت سوم استقرار برای ساختمان‌های یک طرفه در شهرهای مورد مطالعه می‌باشد.

همان‌گونه که در جداول ۵، ۶ و ۷ مشاهده می‌شود بیشترین مقدار انرژی دریافتی سالانه در شهرهای بندرعباس، بوشهر و اهواز متعلق به سطوح ۱۵۰ درجه جنوب‌شرقی و غربی می‌باشد. کمترین میزان انرژی دریافتی سالانه نیز متعلق به سطوح رو به شمال می‌باشد. کمترین درصد دریافت انرژی در دوره گرم سال بر اساس روش قانون کسینوس در شهرهای بندرعباس، بوشهر و اهواز به ترتیب با ۷۵/۷، ۵۴/۱ و ۵۴/۵ درصد مربوط به جهت ۱۸۰ درجه جنوب می‌باشد. همچنین کمترین درصد دریافت انرژی در دوره گرم سال بر اساس نقاله تابش اولگی در شهر بندرعباس با ۷۴/۶ درصد مربوط به جهت ۱۶۵ درجه جنوب‌شرقی و ۵۲/۸ در شهرهای بوشهر و اهواز به ترتیب با ۵۲ و ۵۲/۸ درصد مربوط به جهت جنوب می‌باشد. بر طبق تصویر شماره ۱، جهات جنوبی بیشترین مقدار انرژی را در موقع گرم سال و جهات شمالی کمترین مقدار را در موقع سرد دریافت می‌کنند. همچنین میزان انرژی دریافتی در دوره گرم نسبت به کل سال بر اساس روش قانون کسینوس و نقاله تابش اولگی به ترتیب در شهر بندرعباس، ۸۰/۸ و ۸۲ درصد، در شهر بوشهر، ۶۶/۱ و ۶۷/۹ درصد و در شهر اهواز، ۶۵/۷ و ۶۷/۴ درصد می‌باشد. نتایج بیانگر این است که دوره گرم سال در شهرهای مورد مطالعه بیشتر بوده و بیشترین میزان انرژی دریافتی مربوط به دوره گرم می‌باشد، لذا نیاز به کنترل دریافت تابش خورشیدی سطوح خارجی و ممانعت از نفوذ تابش به فضاهای داخلی در دوره گرم در این شهرها ضروری می‌باشد. کمترین میزان انرژی دریافتی در شهرهای

جدول ۸ و ۹ میانگین انرژی دریافتی سطوح قائم
ساختمان‌های دو و چهار طرفه را نشان می‌دهد.

Table 8; The amount of direct energy received by vertical surfaces in two-sided buildings in studied cities
(BTU/H/FT2)

City	Orientation	Law of Cosines						Olgay chart					
		Period				Dif.	Period				Dif.		
		Cold	%	Hot	%		Cold	%	Hot	%			
Bandar Abbas	(N, S)	928.7	22.7	3161.2	77.3	-2232.5	837.0	22.6	2866.2	77.4	-2029.2		
	(165, -15)/ (-165, 15)	932.3	21.6	3376.8	78.4	-2444.5	833.1	22.3	2901.3	77.7	-2068.2		
	(150, -30)/ (-150, 30)	881.3	18.4	3902.6	81.6	-3021.4	790.6	18.0	3605.3	82.0	-2814.7		
	(135, -45)/ (-135, 45)	892.4	16.8	4404.5	83.2	-3512.1	776.1	15.6	4196.0	84.4	-3419.9		
	(120, -60)/ (-120, 60)	1070.3	18.5	4730.1	81.5	-3659.8	944.1	17.0	4603.1	83.0	-3658.9		
	(105, -75)/ (-105, 75)	1179.1	19.2	4965.7	80.8	-3786.6	977.8	16.7	4880.3	83.3	-3902.5		
	(E, W)	1090.1	17.5	5123	82.5	-4032.8	894.0	15.1	5029.7	84.9	-4135.7		
	(N, S)	1716.6	43	2278.6	57	-562	1586.1	43.9	2028.8	56.1	-442.7		
	(165, -15)/ (-165, 15)	1728.2	40.9	2496.8	59.1	-768.6	1627.3	41.7	2274.5	58.3	-647.2		
	(150, -30)/ (-150, 30)	1688.5	35.7	3044.7	64.3	-1356.2	1490.9	34.5	2828.9	65.5	-1338.0		
Bushehr	(135, -45)/ (-135, 45)	1710.2	32.4	3564.2	67.6	-1854.1	1525.9	30.3	3505.6	69.7	-1979.7		
	(120, -60)/ (-120, 60)	1753.2	30.3	4036.8	69.7	-2283.6	1542.2	27.7	4029.6	72.3	-2487.4		
	(105, -75)/ (-105, 75)	1800.5	29.3	4341.4	70.7	-2541	1560.7	26.2	4390.8	73.8	-2830.2		
	(E, W)	1741.6	28	4470.1	72	-2728.5	1508.4	25.0	4532.2	75.0	-3023.8		
	(N, S)	1731.2	43	2295.3	57	-564.1	1593.7	44.0	2032.4	56.0	-438.7		
Ahwaz	(165, -15)/ (-165, 15)	1754.9	41.6	2467.2	58.4	-712.2	1633.0	41.9	2265.5	58.1	-632.5		
	(150, -30)/ (-150, 30)	1695.4	36.2	2993.4	63.8	-1298	1554.2	35.0	2885.8	65.0	-1331.6		
	(135, -45)/ (-135, 45)	1703.5	32.9	3481.5	67.1	-1778.1	1547.0	30.9	3462.8	69.1	-1915.8		
	(120, -60)/ (-120, 60)	1712.4	30.3	3937.5	69.7	-2225.1	1530.9	28.2	3900.3	71.8	-2369.4		
	(105, -75)/ (-105, 75)	1772.3	29.7	4196.4	70.3	-2424	1549.6	26.6	4275.2	73.4	-2725.6		
	(E, W)	1702.7	28.2	4325.3	71.8	-2622.6	1479.5	25.3	4378.3	74.7	-2898.8		

Table 9: The amount of direct energy received by vertical surfaces in four-sided buildings in studied cities
(BTU/H/FT2)

City	Orientation	Law of Cosines						Olgay chart					
		Period				Dif.	Period				Dif.		
		Cold	%	Hot	%		Cold	%	Hot	%			
Bandar Abbas	(180, 0, 90, -90)	1009.4	19.6	4142.1	80.4	-3132.7	865.5	18	3947.9	82	-3082.5		
	(165, -15, 75, -105)	1055.7	20.2	4171.2	79.8	-3115.6	905.4	18.9	3890.8	81.1	-2985.3		
	(150, -30, 60, -120)	975.8	18.4	4316.4	81.6	-3340.6	867.4	17.4	4104.2	82.6	-3236.8		
	(135, -45, 45, -135)	892.4	16.8	4404.5	83.2	-3512.1	776.1	15.6	4196	84.4	-3419.9		
	(120, -60, 30, -150)	975.8	18.4	4316.4	81.6	-3340.6	867.4	17.4	4104.2	82.6	-3236.8		
	(105, -75, 15, -165)	1055.7	20.2	4171.2	79.8	-3115.6	905.4	18.9	3890.8	81.1	-2985.3		
	(180, 0, 90, -90)	1729.1	33.9	3374.4	66.1	-1645.2	1547.3	32	3280.5	68	-1733.2		
	(165, -15, 75, -105)	1764.3	34.0	3419.1	66.0	-1654.8	1594	32.4	3332.7	67.6	-1738.7		
	(150, -30, 60, -120)	1720.9	32.7	3540.8	67.3	-1819.9	1516.6	30.7	3429.3	69.3	-1912.7		
	(135, -45, 45, -135)	1710.2	32.4	3564.2	67.6	-1854.1	1525.9	30.3	3505.6	69.7	-1979.7		
Bushehr	(120, -60, 30, -150)	1720.9	32.7	3540.8	67.3	-1819.9	1516.6	30.7	3429.3	69.3	-1912.7		
	(105, -75, 15, -165)	1764.3	34.0	3419.1	66.0	-1654.8	1594	32.4	3332.7	67.6	-1738.7		
	(180, 0, 90, -90)	1717.0	34.2	3310.3	65.8	-1593.3	1536.6	32.4	3205.4	67.6	-1668.8		
	(165, -15, 75, -105)	1763.6	34.6	3331.8	65.4	-1568.1	1591.3	32.7	3270.3	67.3	-1679		
	(150, -30, 60, -120)	1703.9	33.0	3465.5	67.0	-1761.5	1542.6	31.3	3393.1	68.7	-1850.5		
Ahwaz	(135, -45, 45, -135)	1703.5	32.9	3481.5	67.1	-1778.1	1547	30.9	3462.8	69.1	-1915.8		
	(120, -60, 30, -150)	1703.9	33.0	3465.5	67.0	-1761.5	1542.6	31.3	3393.1	68.7	-1850.5		
	(105, -75, 15, -165)	1763.6	34.6	3331.8	65.4	-1568.1	1591.3	32.7	3270.3	67.3	-1679		

در دوره گرم بر اساس روش‌های مذکور به ترتیب در شهر بندرعباس ۷۷/۳ و ۵۶/۱ درصد، در شهر بوشهر ۵۷ و ۵۶ درصد و در شهر اهواز ۵۷ و ۵۶ درصد می‌باشد. همچنین با توجه به حداقل انرژی دریافتی در دوره گرم، جهات ۱۵-۱۵ و ۱۶۵ درجه در اولویت دوم اسقاط را برای

با توجه به نتایج حاصل از جدول ۸ و بر اساس حداقل انرژی دریافتی در دوره گرم سال، بهترین جهت اسقاط برای ساختمان‌های دوطرفه براساس روش قانون کسینوس و نقاله تابش اولگی در شهرهای بندرعباس، بوشهر و اهواز جهت شمال-جنوب می‌باشد. حداقل میزان انرژی دریافتی

در شهر بندرب Abbas سال ۷۹/۸ و ۸۱/۱ درصد، در شهر بوشهر ۶۶ و ۶۷/۶ درصد و در شهر اهواز ۶۵/۴ و ۶۷/۳ درصد می‌باشد. همچنین با توجه به حداقل انرژی دریافتی در دوره گرم، جهات (۹۰، ۹۰، ۱۸۰، ۰) درجه در اولویت دوم استقرار برای ساختمان‌های چهارطرفه قرار دارد. تصویر ۲ نمودار اولویت‌بندی استقرار ساختمان‌های یک، دو و چهارطرفه را در شهرهای مورد مطالعه نشان می‌دهد.

ساختمان‌های دوطرفه قرار دارد. طبق جدول ۹ و بر اساس حداقل انرژی دریافتی در دوره گرم سال، بهترین جهت استقرار به منظور دریافت بهینه میزان انرژی خورشیدی در سطوح قائم برای ساختمان‌های چهارطرفه بر اساس روش کسینوس و نقاله تابش اولگی در شهرهای بندرب Abbas، بوشهر و اهواز جهات (۱۰۵، ۱۵، ۷۵، ۱۶۵) درجه بوده و حداقل میزان انرژی دریافتی در دوره گرم بر اساس روش‌های مذکور به ترتیب

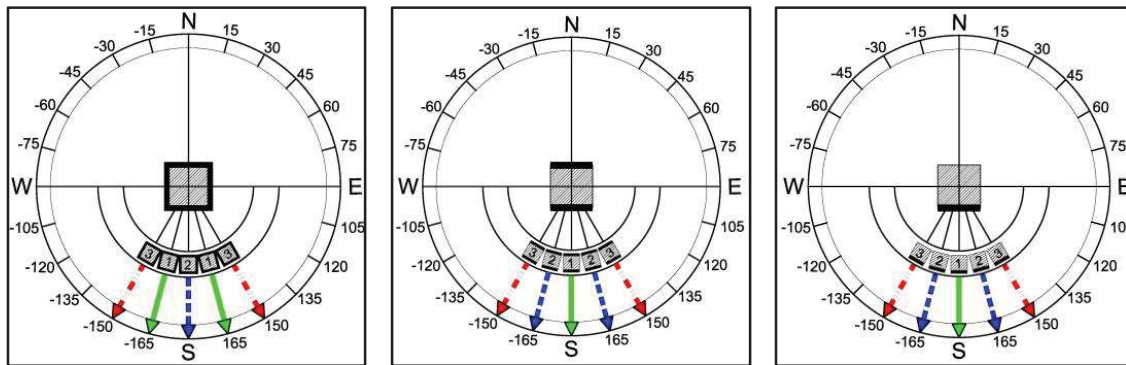


Fig. 2 Chart of orientation prioritization for one-sided (right), two-sided (center) and four-sided (left) buildings in studied cities. (Green line: first priority; Blue line: second priority; Red line: third priority)

شهرهای مورد مطالعه محاسبه گردید. نتایج نشان می‌دهد که جهت استقرار بهینه با استفاده از روش‌های قانون کسینوس و نقاله تابش اولگی در شهرهای مورد مطالعه، برای ساختمان‌های یک، دو و چهارطرفه یکسان می‌باشد. به منظور دریافت بهینه میزان انرژی خورشیدی سطوح قائم، بهترین جهت استقرار برای ساختمان‌های یکطرفه در شهرهای بندرب Abbas، بوشهر و اهواز، جهت ۱۸۰ جنوب و بعد از آن جهت ۱۶۵ جنوب‌شرقی و غربی می‌باشد. بهترین جهت استقرار برای ساختمان‌های دوطرفه در شهرهای بندرب Abbas، بوشهر و اهواز جهت شمال-جنوب و بعد از آن جهات (۱۵، ۱۵) و (۱۶۵، ۱۵) درجه می‌باشد. همچنین بهترین جهت استقرار برای ساختمان‌های چهارطرفه در شهرهای بندرب Abbas، بوشهر و اهواز جهات (۱۰۵، ۱۵، ۷۵) درجه می‌باشد. در اساس این جهات مختصاتی و یافته‌های این تحقیق، امکان محاسبه میزان انرژی دریافتی و تعیین جهت مناسب استقرار سطوح قائم فرم‌های مختلف چندضلعی منتظم با تناسبات ابعادی مختلف و جداره‌های معابر و فضاهای شهری وجود دارد.

۵- نتیجه‌گیری

شناخت دقیق شرایط اقلیمی و تعیین پتانسیل‌های محیطی و جغرافیایی محل قرارگیری ساختمان، برای دستیابی به یک معماری پایدار و همساز با اقلیم و به منظور استفاده حداقلی از انرژی‌های تجدیدپذیر ضروری می‌باشد. شهرهای بندرب Abbas، بوشهر و اهواز اقلیمی گرم و مرطوب با تابستان‌های بسیار گرم و مرطوب و زمستان‌های معتدل می‌باشند. با توجه به بالا بودن دما و رطوبت هوا در بیشتر مواقع سال در سواحل جنوبی کشور، بهره‌گیری از حداقل پوشش سایه و جریان هوا نقش بسیار مهمی در احساس آسایش حرارتی دارد. لذا در این مناطق جهت استقرار ساختمان‌ها و فضاهای شهری بر اساس شرایط اقلیمی لازم است طوری باشد که در دوره‌های گرم شدت تابش آفتاب بر سطوح آن به حداقل رسیده و امکان ایجاد حداقل جریان هوا و تهویه طبیعی در فضاهای داخلی ساختمان وجود داشته باشد. در این تحقیق با استفاده از روش محاسباتی قانون کسینوس و نقاله تابش اولگی، میزان انرژی تابشی مستقیم بر روی سطوح قائم در ۲۴ جهت جغرافیایی و به تفکیک دوره‌های سرد و گرم سال برای

فهرست منابع

- بزرگ، زهرا؛ حیدری، شاهین (۱۳۹۲). بررسی تاثیر تابش دریافتی خورشید در بدن‌های ساختمان بر مصرف انرژی بخش خانگی، نشریه هنرهای زیبا-معماری و شهرسازی، دوره ۱۸، شماره ۱، صص. ۴۵-۵۶.
- حجازی‌زاده، زهرا؛ افتخاری، سیدمروت؛ سلکی، هیوا (۱۳۹۱). بهینه‌سازی جهت‌گیری فضاهای آزاد در شهر دزفول بر اساس شرایط اقلیمی، جغرافیا فصلنامه علمی - پژوهشی انجمن جغرافیای ایران، سال دهم، شماره ۳۲، صص. ۷-۲۷.
- حسین‌آبادی، سعید؛ لشکری، حسن؛ سلمانی‌مقدم، محمد (۱۳۹۱). طراحی اقلیمی ساختمان‌های مسکونی شهر سبزوار با تاکید بر جهت‌گیری ساختمان و عمق سایبان، جغرافیا و توسعه، سال دهم، شماره ۲۷، صص. ۱۰۳-۱۱۶.
- حسینی، سید محمد؛ حجازی‌زاده، زهرا؛ کربلائی‌درئی، علیرضا؛ کاشکی، عبدالرضا (۱۳۹۸). بهینه‌سازی جهت سازه‌های ساختمانی بر اساس تابش خورشید در همدان، جغرافیا (فصلنامه علمی - پژوهشی انجمن جغرافیای ایران)، دوره ۱۷، شماره ۶۰، صص. ۵-۲۰.
- خلیلی، علی؛ رضایی صدر، حسن (۱۳۷۶). برآورد تابش کلی خورشید در گستره ایران بر مبنای داده‌های اقلیمی، تحقیقات جغرافیایی، دوره ۴، شماره ۴۶، صص. ۱۵-۳۵.
- خیرآبادی، فواد؛ نورمحمدزاد، حسین؛ علیزاده، هوشمند (۱۳۹۶). نقش جهت‌گیری کالبد فضاهای شهری در میزان آسایش اقلیمی شهرهوندان (مطالعه موردی: شهر بندرعباس)، جغرافیا و پایداری محیط، سال هفتم، شماره ۲۴، صص. ۱۵-۳۱.
- عظمتی، علی‌اکبر؛ حسینی، حسین (۱۳۹۲). بررسی تاثیر جهت‌گیری ساختمان‌های آموزشی بر بارهای حرارتی و برودتی در اقلیم‌های مختلف، علوم و تکنولوژی محیط زیست، دوره ۱۵، شماره ۲، صص. ۱۴۷-۱۵۷.
- قانقرمه، عبدالعظیم؛ روشن، غلامرضا؛ شاهکوبی، اسماعیل (۱۳۹۷). بازنگری در تعیین دمای پایه آسایش حرارتی مناطق اقلیمی متفاوت ایران به منظور محاسبه شاخص درجه- روز مود نیاز سرمایشی و گرمایشی، فصلنامه علمی - پژوهشی اطلاعات جغرافیایی، دوره ۲۷، شماره ۱۰۵، صص. ۱۲۷-۱۴۳.
- کربلائی‌درئی، علیرضا؛ حجازی‌زاده، زهرا (۱۳۹۶). بهینه‌سازی جهت‌گیری استقرار ساختمان در شهر کاشان بر اساس شرایط اقلیمی، مطالعات جغرافیایی مناطق خشک، دوره هفتم، شماره ۲۷، صص. ۸۵-۱۰۳.
- کسمایی، مرتضی (۱۳۸۱). اقلیم و معماری، اصفهان، نشر خاک، چاپ دوم، صص. ۲۸-۳۱.
- گنجی، حسن (۱۳۳۳). تقسیمات اقلیمی ایران، مجله دانشکده ادبیات، سال سوم، شماره ۱، صص. ۲۷-۷۲.
- لشکری، حسن؛ موژرمی، سارا؛ سلکی، هیوا؛ لطفی، کورش (۱۳۹۰). بهینه‌سازی جهت‌گیری بناهای ساختمانی در شهر اهواز بر اساس شرایط اقلیمی، جغرافیای طبیعی، سال چهارم، شماره ۱۲، صص. ۴۵-۶۲.
- محمدزاده، رحمت؛ جهانی، مقصود؛ قراخانی سجاعی، رضا (۱۳۹۴). مطالعه میزان انطباق مساکن شهر جلفا با زاویه تابش آفتاب، فصلنامه فضای جغرافیایی، سال پانزدهم، شماره ۵۲، صص. ۱۱۷-۱۳۵.
- مقررات ملی ساختمان ایران- مبحث ۱۹: صرفه‌جویی در مصرف انرژی (۱۳۸۸). وزارت مسکن و شهرسازی- دفتر امور مقررات ملی ساختمان.
- Al-Anzi A, Seo D, Krarti M (2009). Impact of building shape on thermal performance of office buildings in Kuwait, Energy Conversion and Management, Vol. 50, No. 3, pp. 822-828.
- Angstrom A (1924). Solar and terrestrial radiation, Quarterly Journal of the Royal Meteorological Society, Vol. 50, pp. 121-126.
- Ashrae (1995). Handbook, heating, ventilating, and airconditioning applications. ashrae publications.
- Bakirci K (2009). Models of solar radiation with hours of bright sunshine: A review, Renewable and Sustainable Energy Reviews, Vol. 13, No. 9, pp. 2580-2588.
- Barzegar Z, Heydari Sh, Zarei M (2012). Evaluation of the effect of building orientation on achieved solar radiation- A NE-SW orientated case of urban residence in semi-arid climate, International Journal of Architectural Engineering & Urban Planning, Vol. 22, No. 2, pp. 108-113.
- Coppolino S (1990). Validation of a very simple model for computing global solar radiation in European African (Asian & North American areas), Solar and Wind Technology, Vol. 7, No. 4, pp. 489-494.
- Depecker P, Menezo C, Virgone J, Lepers S (2001). Design of buildings shape and energetic consumption, Building and Environment, Vol. 36, No. 5, pp. 627-635.
- Duffie JA, Beckman WA (2006). Solar engineering of thermal processes, 3rd ed, John Wiley & Sons, Inc.
- Energyplus, 2018. Retrieved from:
https://energyplus.net/weather-location/asia_wmo_region_2/IRN//IRN_Tehran-Mehrabad.407540_ITMY, at April, 2018; 22: 25:30PM.
- Hemsath TL, Alagheband Bandhosseini K (2015). Sensitivity analysis evaluating basic building geometry's effect on energy use, Renewable Energy, Vol. 76, pp. 526-38.
- IRIMO, 2018. Retrieved from: <http://www.irimo.ir/far/wd/2703>, at May, 2018; 23:30:28PM.
- Maghrabi AH (2009). Parameterization of simple model to estimate monthly global solar radiation based on meteorological variables and evaluation of existing solar radiation models for tabuk, Saudi Arabia, Energy Conversion and Management, Vol. 50, No. 11, pp. 2754-2760.
- Neuwirth F (1980). The estimation of global and sky radiation in Austria, Solar Energy, Vol. 24, No. 5, pp. 421-426.
- Oral GK, Yilmaz Z (2003). Building form for cold climatic zones related to building envelope from heating energy conservation point of view, Energy and Buildings, Vol. 35, No. 4, pp. 383-388.

- Ourghi R, Al-Anzi A, Krarti M (2007). A simplified analysis method to predict the impact of shape on annual energy use for office buildings, *Energy Conversion and Management*, Vol. 48, No. 1, pp. 300-305.
- Paltridge GW, Proctor D (1976). Monthly mean solar radiation statistics for Australia, *Solar Energy*, Vol. 18, No. 3, pp. 235- 243.
- Prescott JA (1940). Evaporation from a water surface in relation to solar radiation, *Transactions of the Royal Society of South Australia*, Vol. 64, pp. 114-118.
- Sabbagh JA, Sayigh AAM, Al-Salam EMA (1977). Estimation of the total solar radiation from meteorological data, *Solar Energy*, Vol. 19, No. 3, pp. 307-311.
- Samimi J (1994). Estimation of height-dependent solar irradiation and application to the solar climate of Iran, *Solar Energy*, Vol. 52, No. 5, pp. 401-409.
- Sozen A, Arcaklio E, Ozalp M (2004). Estimation of solar potential in Turkey by artificial neural networks using meteorological and geographical data, *Energy Conversion and Management*, Vol. 45, Nos. 18-19, pp. 3033-3052.
- Watson D, Labs K (1983). Climate design: energy efficient building principles and practices., McGraw-Hill, New York, 37.
- Wei L, Tian W, Zuo J, Yang ZY, Liu YL, Yang S (2016). Effects of building form on energy use for buildings in cold climate regions, *Procedia Engineering*, Vol. 146, pp. 182-189.
- Wu C, Liu Y, Wang T (2007). Methods and strategy for modeling daily global solar radiation with measured meteorological data; case study in nanchang station, China, *Energy Conversion and Management*, Vol. 48, No. 9, pp. 2447-2452.
- Zamani M, Akbari H, Hadavi F (2016). Best orientation determination of buildings in zanjan city based on solar radiation, *Armanshahr Architecture & Urban Development*, Vol. 8, No. 16, pp. 85-94.20.

Determining The Optimum Orientation of Vertical Building Surfaces, Based on Solar Energy Receiving in The Hot and Humid Climate

(Case Study: Bandar Abbas, Bushehr and Ahwaz Cities)

Hassan Akbari¹(Corresponding Author), Fatemeh Sadat Hosseini Nezhad²

¹Assistant Professor of Architecture, Faculty of Engineering, University of Mohaghegh Ardabili, Ardabil, Iran (h.akbari.arc@gmail.com)

²Ph.D in Urban and Regional Planning, Shahid Beheshti University, Tehran, Iran
(Hosseininezhad1359@gmail.com)

Received
24/07/2018

Revised
05/05/2019

Accepted
03/10/2019

Available Online
19/02/2020

Introduction

Due to the hot and humid climate of the southern coastal cities of Iran, radiation and airflow play a very important role in thermal comfort feeling. If the wind flow is compatible with shade, they cause more evaporation in the perspiration process and cool the body, allowing people to continue working at temperatures above the comfort zone. Therefore, the orientation of buildings in these regions should be determined simultaneously based on the optimum use of solar radiation and wind flow. This research aims to determine the best orientations of buildings, compatible with climate, in Bandar Abbas, Bushehr and Ahvaz cities, by surveying the amount of direct radiation energy received by the vertical surfaces of buildings.

Research Methodology

To calculate the amount of direct radiation energy received by the vertical surfaces in different geographic directions, firstly, the parameters related to the solar geometry including solar hour angle, declination angle, side angle, Zenith angle, and sun altitude were extracted using computational relationships and Q-BASIC software, in different hours of the day, in studied cities. Secondly, using the "Law of cosines" computational method and Olgyay chart, the amount of per hour direct radiation energy, received by vertical surfaces in 24 geographic directions was measured through theoretical and real calculation. Thirdly, based on the minimum temperature of thermal comfort, the amount of energy received by the surfaces was calculated for hot and cold periods of the year, separately. Fourthly, the most appropriate orientations for one-sided, two-sided, and four-sided buildings were determined based on the maximum difference between the received energy in the cold and hot periods and the highest percentage of radiation received in the cold period of the year.

Research Findings

The amount of received energy during the hot period compared to the whole year according to the Law of Cosines and Olgyay chart methods, is respectively 80.8% and 82% in Bandar Abbas, 66.1% and 67.9% in Bushehr, and, 67.4% and 65.7%, respectively. The results indicate that the duration of hot period of the year is longer than cold period in studied cities and the highest amount of energy is obtained through the hot period, therefore it is necessary to control the absorption of solar radiation by external surfaces and to prevent the penetration of radiation into the internal spaces during the hot period in these cities. Accordingly, the best orientations for building in studied cities are determined based on the minimum amount of solar energy received during the hot period. The best orientation for one-sided buildings according to the Law of Cosines in Bandar Abbas, Bushehr and Ahwaz is 180° South and the maximum amount of received energy in the hot period is respectively 75.7%, 54.1% and 54.5%. Also, the best orientation for one-sided buildings according to Olgyay chart in Bandar

Abbas is the orientations of 165° Southeast and Southwest with the maximum amount of 74.6% and in Bushehr and Ahvaz is 180° South with the maximum amount of 52% and 52.8% received energy, respectively in hot period of the year.

Based on the minimum received energy during the hot period, the best orientations for two-sided buildings using the Law of Cosines and Olgay chart in Bandar Abbas, Bushehr and Ahvaz are the North-South direction. The maximum amount of received energy during the hot period using the mentioned methods is respectively 77.3% and 77.4% in Bandar Abbas, 57% and 56.1% in Bushehr, and 57% and 56% in Ahvaz. Also, the best orientation for four-sided buildings using the Law of Cosines and Olgay chart in the cities of Bandar Abbas, Bushehr and Ahwaz is respectively (165, -15, 75, 105) and (-165, 15, -75, 105) degrees. The maximum amount of received energy during the hot period using mentioned methods is respectively 79.8% and 81.1% in Bandar Abbas, 66% and 67.6% in Bushehr and 65.4% and 67.3% in Ahvaz.

Conclusion

The results show that the optimum orientations using the Law of Cosines and Olgay chart methods, for one-sided, two-sided and four-sided buildings are the same in studied cities. In order to obtain the optimum amount of solar energy on vertical surfaces, the best orientation for one-sided buildings in Bandar Abbas, Bushehr and Ahvaz is respectively 180° South and 165° Southeast and Southwest. The best orientation for two-sided buildings in studied cities is North-South and then (165, -15) and (-165, -15) degrees. The best orientations for four-sided buildings in those cities are (165, -15, 75, -105) and (-165, 15, -75, 105) degrees then (180, 0, 90, -90) degrees.

Key words:

Solar energy, Orientation of vertical surfaces, The “Law of cosines”, Olgay chart, Hot humid climate.

COPYRIGHTS

Copyright for this article is retained by the author(s), with publication rights granted to the Journal of Iranian Architecture & Urbanism. This is an open-access article distributed under the terms and conditions of the Creative Commons Attribution License.

(<https://creativecommons.org/licenses/by/4.0/>).



نحوه ارجاع به این مقاله:

اکبری، حسن و حسینی نژاد، فاطمه سادات. (۱۳۹۸). تعیین زاویه بهینه استقرار سطوح قائم ساختمان بر اساس دریافت انرژی خورشیدی در اقلیم گرم و مرطوب(مطالعه موردی: شهرهای بندرعباس، بوشهر و اهواز). نشریه علمی معماری و شهرسازی ایران، ۱۰(۱۸)، ۹۹-۱۱۲.

DOI: 10.30475/ISAU.2020.103679

URL: http://www.isau.ir/article_103679.html



CONTENTS

Identification of Factors Affecting Sociopetality in the Educational Environment of Architecture and Analyzing the Interaction between Them via F. MCDM (Fuzzy Multiple Criteria Decision-Making Approach)	17
Elham Jafari, Hamzeh Gholamalizadeh, Mahmood modiri	
Adherence to History in Contemporary Interventions; (Comparison of Several European Countries and Iran in Contextual Design of Buildings and Collections)	37
Gholamreza Japalaghi, Asghar Mohammad Moradi, Arash Mohammad-Moradi, Tahereh Jamakloo	
The Importance and Application of "Urban Emotions" in Urban Design and Planning	59
Esmat Paikan, MohammadReza Pourjafar	
An Inquiry Concerning the Principles of Behavioral and Democratic Urban Spaces; Integrating the Theories	83
Mani Sattarzad Fathi, Majid Zarei, Rahim Hashempour	
Applying Thematic Analysis to Identify the Experienced Meaning during Routine Movement through Built Environments	97
Somayeh Rafiee, Majid Salehinia, Ghasem Motalebi	
Determining The Optimum Orientation of Vertical Building Surfaces, Based on Solar Energy Receiving in The Hot and Humid Climate	111
(Case Study: Bandar Abbas, Bushehr and Ahwaz Cities)	
Hassan Akbari, Fatemeh Sadat Hosseini Nezhad	
Assessment and Analysis of the Thermal Comfort Conditions in Open Spaces of Residential Neighborhoods Using Thermal Indicators	125
(Case Study: Neighborhoods of Isfahan City)	
Fatemeh Alsadat Majidi, Shahin Heidari, Mahmoud Ghalenoei, Maryam Ghasemi Cichani	
The Effect of the Existence and Expansion of a Cemetery on Its Adjacent Neighborhoods	137
(Case Study: of Imamzadeh Soltan Ebrahim Cemetery of Quchan City)	
Samaneh Jalilisadrabad ¹ (Corresponding Author), Shadi Shokri Yazdan Abad	
Revitalization of the Landscape of Urban Rivers with an Approach to Positive Interaction between Human and the Natural Environment;	156
(Case Study: the River of Amol Shahr-roud)	
Narges Hamzeh, Hamed Mazaherian, Mohammadsaeid Izadi, Morteza Lotfipour Siahkalroudi	
Restudying the Perception Components of Active Frontages in Streetscape Design	177
(Case Study: Khayam Street in the Middle Urban Fabric of Shiraz, Iran)	
Fateme Shams, Mahsa Sholeh, Sahand Lotfi, Ali Soltani	
Investigating the Relationship between Youth Emotional Intelligence and Their Tendency Towards Urban Symbols	191
Nasim Najafi Zarifi, Sanaz litkouhi	
Conceptual Analysis of Neighborhood Territory based on Residents' Perception using Geographic Information System (GIS)	208
(Case study: Mashhad Neighborhoods)	
Amidoleslam Saghatoleslami	
Effect of Gas Types in Double and Triple Pane Windows on Cooling and Heating Loads in Office Buildings in Hot-Humid, Hot-Dry and Cold Climates in Iran	224
Jalil Shaeri, Roza Vakilinezhad, Mahmood Yaghoubi	

Scientific Journal of Iranian Architecture & Urbanism

Vol. 10, No. 18, Fall & Winter 2020

Licence Holder: Iranian Scientific Association of Architecture & Urbanism

Director-in-Charge: Mohsen Faizi (Professor of Architecture)

Editor- in- Chief: Mostafa Behzadfar (Professor of Urban Design)

Editorial Board

1. Behzadfar, Mostafa; Professor of Urban Design, Iran University of Science & Technology.
2. Bemanian, Mohammadreza; Professor of Architecture, Tarbiat Modarres University.
3. Diba, Darab; Professor of Architecture, Islamic Azad University(Central Branch).
4. Etessam, Iraj; Professor of Architecture, Islamic Azad University(Science and Research Branch)
5. Faizi, Mohsen; Professor of Architecture, Iran University of Science & Technology.
6. Gorji Mahlabani, Yousef; Professor of Architecture, Imam Khomeini International University.
7. Hashemnejad, Hashem; Associate Professor of Architecture, Iran University of Science & Technology.
8. Khakhzand, Mehdi; Associate Professor of Architecture, Iran University of Science & Technology
9. Mazaherian, Hamed; Associate Professor of Architecture, University of Tehran.
10. Memarian, Gholamhossein; Professor of Architecture, Iran University of Science & Technology.
11. Mohammad Moradi, Asghar; Professor of Restoration, Iran University of Science & Technology.
12. Mozaffar, Farhang; Associate Professor of Architecture, Iran University of Science & Technology.

Editorial Manager: Mehdi Khakhzand, Associate Professor, Iran University of Science & Technology

Editorial Advisor: Yousef Gorji Mahlabani, Professor, Imam Khomeini International University

English Language Editor: Iranian Scientific Association of Architecture & Urbanism

Editorial Expert: Anahita Tabaeian, Ph.D. Candidate in Urban Design

Paging and Formating: Elham Mennati Moheb

Publisher: Iran University of Science and Technology

Number: 50 issues

Price: 500000 Rls

Address: School of Architecture & Environmental Design, Iran University of Science & Technology (IUST), Narmak, Tehran, Iran.

Postal Code: 13114-16846

Email: iaau@iust.ac.ir

Web Site: www.isau.ir

Phone: (0098-21) 73228235

Fax: (0098-21) 77240468



- **Identification of Factors Affecting Sociopetality in the Educational Environment of Architecture and Analyzing the Interaction between Them via F. MCDM (Fuzzy Multiple Criteria Decision-Making Approach)**
Elham Jafari, Hamzeh Gholamalizadeh, Mahmood modiri
- **Adherence to History in Contemporary Interventions; (Comparison of Several European Countries and Iran in Contextual Design of Buildings and Collections)**
Gholamreza Japalaghi, Asghar Mohammad Moradi, Arash Mohammad-Moradi, Tahereh Jamakloo
- **The Importance and Application of "Urban Emotions" in Urban Design and Planning**
Esmat Paikan, MohammadReza Pourjafar
- **An Inquiry Concerning the Principles of Behavioral and Democratic Urban Spaces; Integrating the Theories**
Mani Sattarzad Fathi, Majid Zarei, Rahim Hashempour
- **Applying Thematic Analysis to Identify the Experienced Meaning during Routine Movement through Built Environments**
Somayeh Rafiei, Majid Salehinia, Ghasem Motalebi
- **Determining The Optimum Orientation of Vertical Building Surfaces, Based on Solar Energy Receiving in The Hot and Humid Climate**
(Case Study: Bandar Abbas, Bushehr and Ahwaz Cities)
Hassan Akbari, Fatemeh Sadat Hosseini Nezhad
- **Assessment and Analysis of the Thermal Comfort Conditions in Open Spaces of Residential Neighborhoods Using Thermal Indicators**
(Case Study: Neighborhoods of Isfahan City)
Fatemeh Alasadat Majidi, Shahin Heidari, Mahmoud Ghale noe, Maryam Ghasemi Cichani
- **The Effect of the Existence and Expansion of a Cemetery on Its Adjacent Neighborhoods**
(Case Study: of Imamzadeh Soltan Ebrahim Cemetery of Quchan City)
Samaneh Jalilisadrabad1 (Corresponding Author), Shadi Shokri Yazdan Abad
- **Revitalization of the Landscape of Urban Rivers with an Approach to Positive Interaction between Human and the Natural Environment;**
(Case Study: the River of Amol Shahr-roud)
Narges Hamzeh, Hamed Mazaherian, Mohammadsaeid Izadi, Morteza Lotfipour Siahkalroudi
- **Restudying the Perception Components of Active Frontages in Streetscape Design**
(Case Study: Khayam Street in the Middle Urban Fabric of Shiraz, Iran)
Fatemeh Shams, Mahsa Sholeh, Sahand Lotfi, Ali Soltani
- **Investigating the Relationship between Youth Emotional Intelligence and Their Tendency Towards Urban Symbols**
Nasim Najafi Zarifi, Sanaz litkouhi
- **Conceptual Analysis of Neighborhood Territory based on Residents' Perception using Geographic Information System (GIS)**
(Case study: Mashhad Neighborhoods)
Amidoleslam Saghatoleslami
- **Effect of Gas Types in Double and Triple Pane Windows on Cooling and Heating Loads in Office Buildings in Hot-Humid, Hot-Dry and Cold Climates in Iran**
Jalil Shaeri, Roza Vakilinezhad, Mahmood Yaghoubi